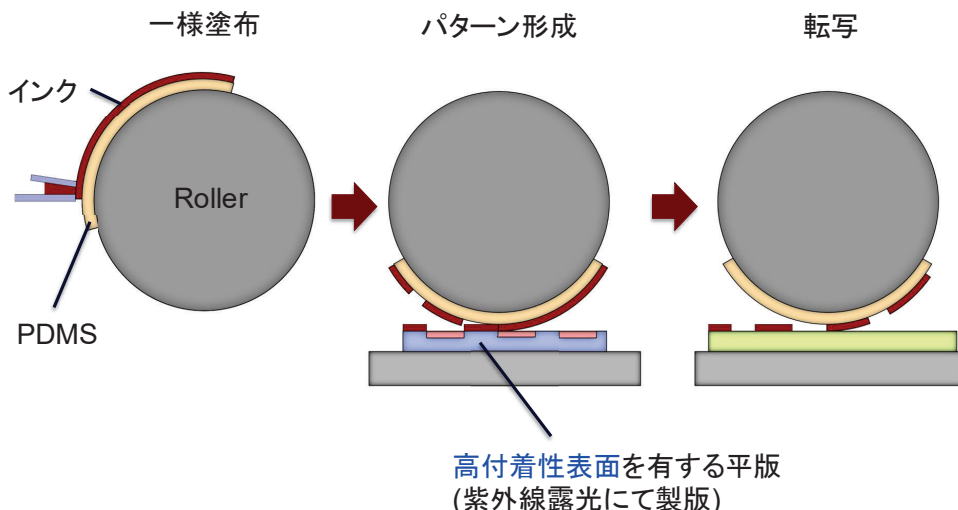


アディティブに線幅2μmを実現する高精度配線印刷技術

産業技術総合研究所
センシングシステム研究センター
日下 靖之
y-kusaka@aist.go.jp

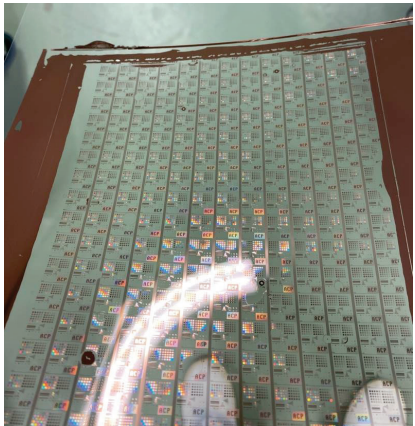


付着力コントラスト印刷

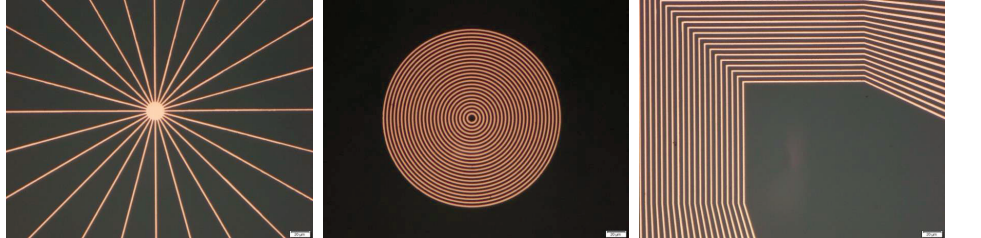


付着力コントラスト印刷例(Cuナノインク)

Cu印刷サンプル



放射パターン($L=2\ \mu\text{m}$) 同心円パターン($L/S=2\ \mu\text{m}$) 直角パターン($L/S=2/4\ \mu\text{m}$)



MDパターン($L/S=2/2\ \mu\text{m}$) TDパターン($L/S=2/2\ \mu\text{m}$) TDパターン($L/S=10/2\ \mu\text{m}$)

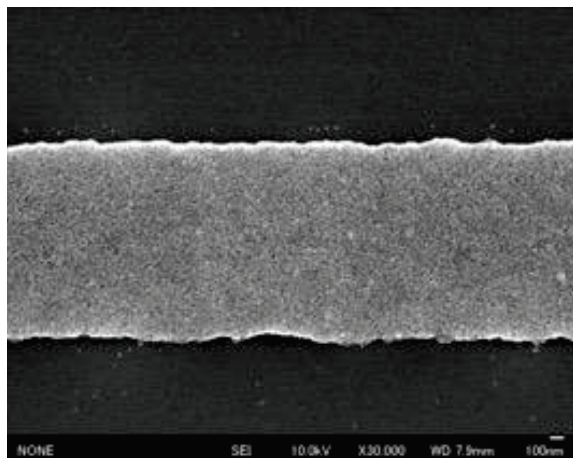


パターン形状に依存せず、線幅2μmのパターン形成が可能

印刷配線パターンの形状について

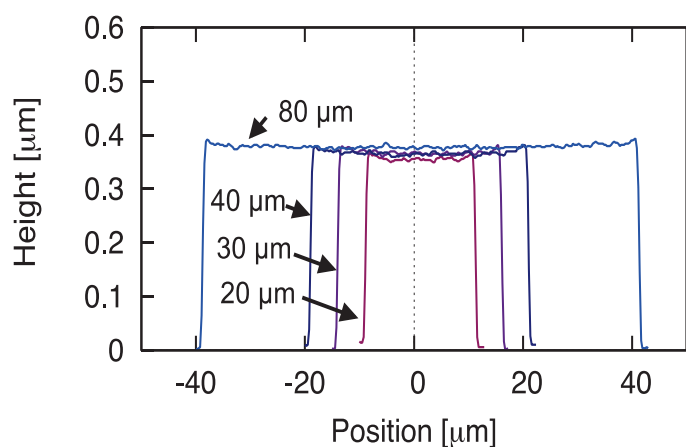
配線のラインエッジラフネス

他の印刷工法と比べて、シャープなエッジ



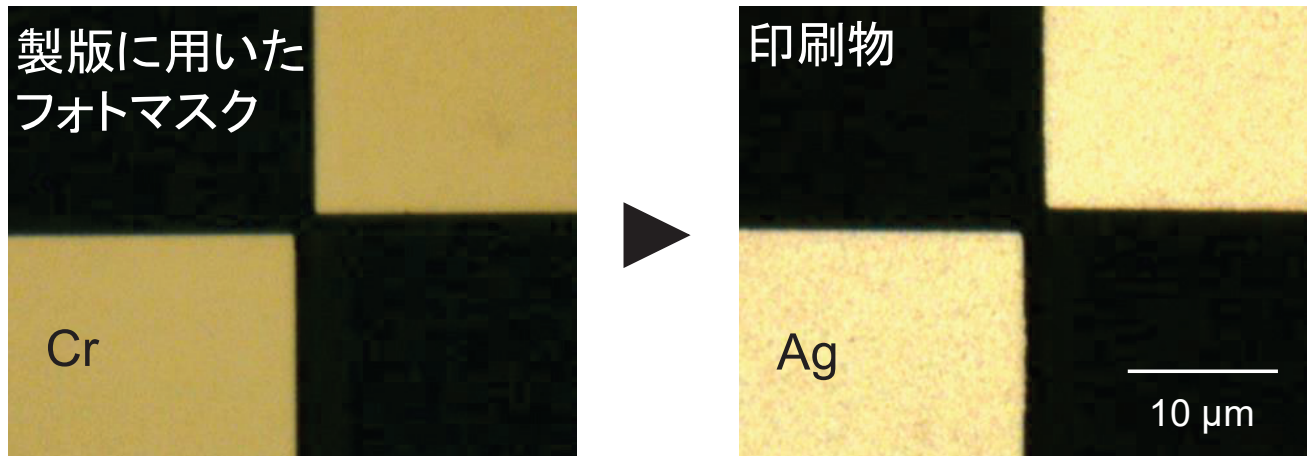
配線断面プロファイル

パターン形状によらず、均一厚み、矩形断面形状



印刷パターンの形状インテグリティ

マスターpatternを忠実に反映した構造形成が可能



2μmギャップのマスターpatternを忠実に再現

離散要素法によるシミュレーション

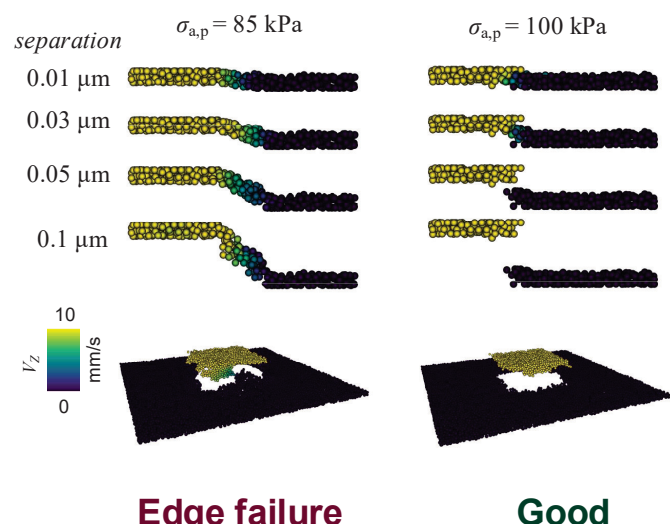
付着力コントラスト印刷を粒子薄膜の破壊を伴う転写プロセスとみなしてモデリング

Simplified simulation:

- Brownian motion ignored.
- Hydrodynamics ignored.
- JKR interaction assumed.



インク膜物性とパターニング品質の
定性的な依存関係を解明



付着力コントラスト印刷例(Cuめっき配線)

めっきシード層印刷パターニング

めっきシード層印刷後に、無電解Cuめっきを施すことでフルアディティブ配線形成。グリーン化・厚膜化・低抵抗化・低温プロセス化が可能。

STEP1 無電解シード層印刷

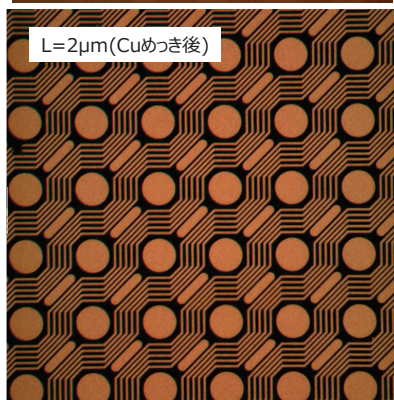
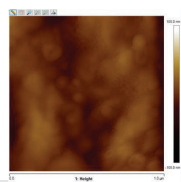


STEP2 無電解Cuめっき



(現状、最大膜厚は500~2000nm)

表面粗さ : 8.9nm



付着力コントラスト印刷例(レジスト印刷)

レジスト印刷パターニング(SiO_2 エッ칭)

レジストの直接印刷により、エッチングレジストのフォトリソ工程を省略。

STEP1 SiO_2 成膜



STEP2 レジスト印刷

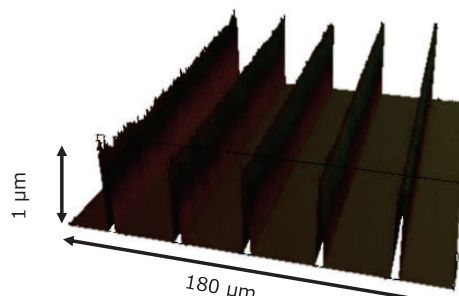


STEP3 ドライエッ칭



レジストパターニング・ SiO_2 エッチング後の表面構造

3μm線幅



SiO_2 に対してドライエッチングレート比100以上のレジスト印刷膜の開発に成功

付着力コントラスト印刷例(遮光膜印刷)

遮光膜パターニング(フォトマスクの直接印刷)

遮光膜の直接印刷と全面一括露光による有機系絶縁膜パターニング。

STEP1
レジスト塗布



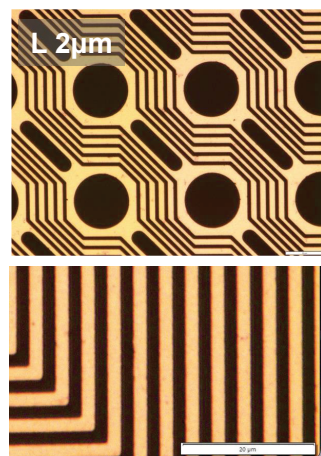
STEP2
遮光膜印刷



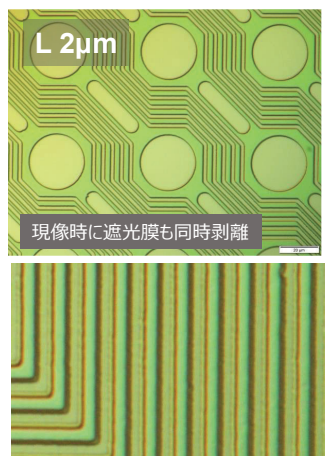
STEP3
露光・現像



露光前(遮光膜印刷)



露光現像後

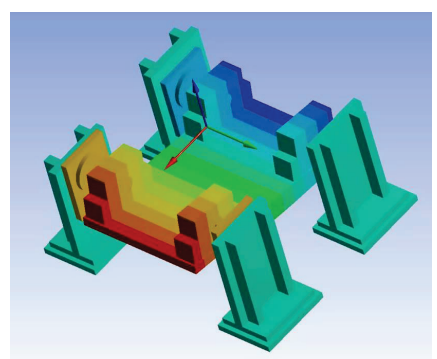
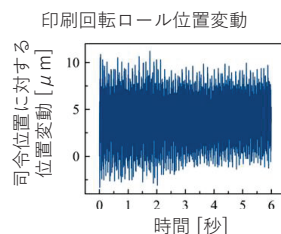


OD=2以上の印刷遮光膜によりポジ型感光性有機絶縁膜のL/S = 2/2μm形成に成功

高精度印刷装置の開発

課題

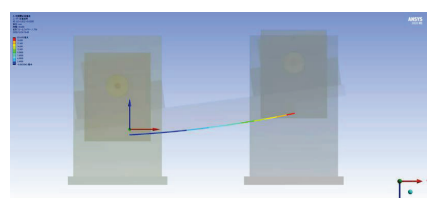
- 通常のロール転写印刷は回転速度変動に由来する長寸法位置誤差が発生。
- 高精度な位置合わせができない。



課題解決のアプローチ

- トロコイド運動を利用した転写機構とすることで、低精度な回転運動を排除する。

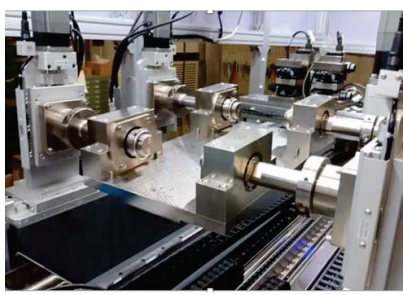
円弧揺動型印刷装置



(2023) Y. Kusaka, A. Hirata, A. Ohgata, N. Fukuda, "Arc-to-sheet printer for high-precision patterning with positional errors below 6 ppm at 3σ level: Trochoidal trajectory mechanism for rotary motion of arc", *Precision Engineering* 83 192-203 [10.1016/j.precisioneng.2023.06.004](https://doi.org/10.1016/j.precisioneng.2023.06.004)

長寸法精度の検証

試作した円弧運動型印刷機



トロコイド曲線のパラメータ調整により印刷条件の最適化

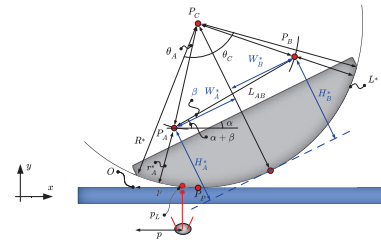
1, トロコイド曲線による制御

$$y_A = M_{yA}[p - r_A \sin(p' + \theta_A)]$$

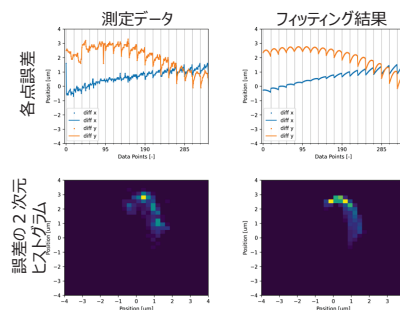
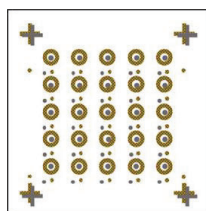
$$z_A = M_{zA}[R - r_A \cos(p' + \theta_A)] + \Delta z_A$$

$$y_B = M_{yB}[p - r_B \sin(p' - \theta_B)]$$

$$z_B = M_{zB}[R - r_B \cos(p' - \theta_B)] + \Delta z_B$$



2, 多次元フィッティングによる格子パターンの位置精度検証



$$D_x(d, x, y) = \sum_{m=0}^d \sum_{n=0}^m A_{m(m+1)/2} S_{m-n}(x) S_n(y)$$

$$D_y(d, x, y) = \sum_{m=0}^d \sum_{n=0}^m A_{m(m+1)/2} S_{m-n}(x) S_n(y)$$

$$S_n(x) = \begin{cases} x^{\frac{n(n-1)}{2}} & n = 0 \\ x^{\frac{n(n-1)}{2}-k} \binom{2n-1-k}{k} (-4x)^{n-1-k} & n \geq 1 \end{cases}$$

$$[\hat{A}_x] = \arg \min_{[A_x]} MSE_x([A_x])$$

$$[\hat{A}_y] = \arg \min_{[A_y]} MSE_y([A_y])$$

$$MSE_x([A_x]) = \sum_{l=1}^{l_{max}} \sum_{j=1}^{j_{max}} [\Delta x^{l,j} - D_x(d, x_d^{l,j}, y_d^{l,j})]^2$$

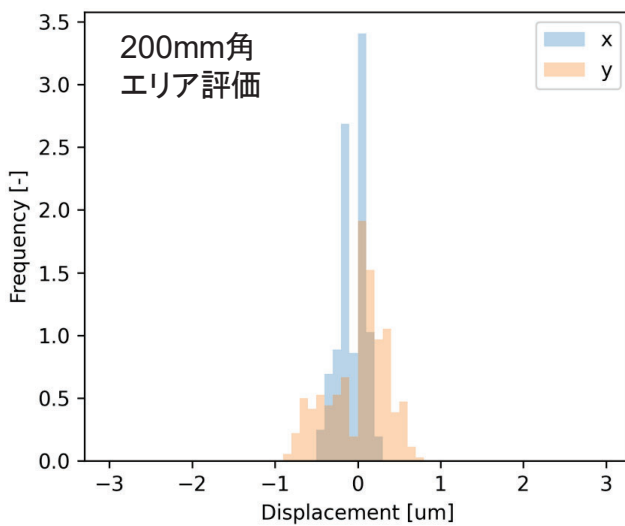
$$MSE_y([A_y]) = \sum_{l=1}^{l_{max}} \sum_{j=1}^{j_{max}} [\Delta y^{l,j} - D_y(d, y_d^{l,j}, y_d^{l,j})]^2$$

NATIONAL INSTITUTE OF ADVANCED INDUSTRIAL SCIENCE AND TECHNOLOGY (AIST)

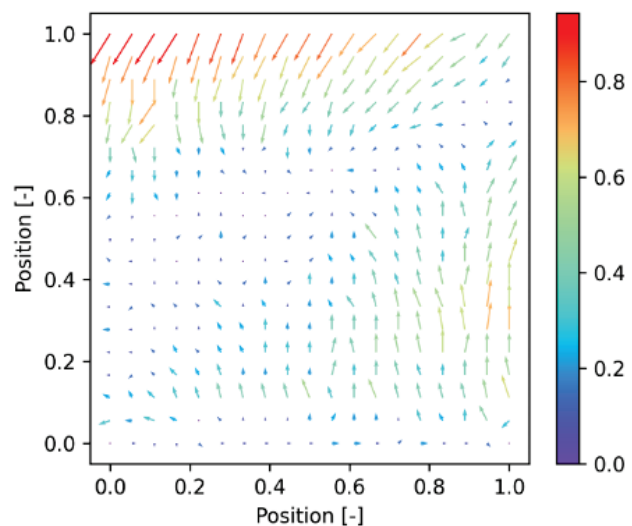
11

長寸法精度の検証

格子評価パターンの位置誤差ヒストグラム



格子評価パターンの位置誤差マップ [μm]

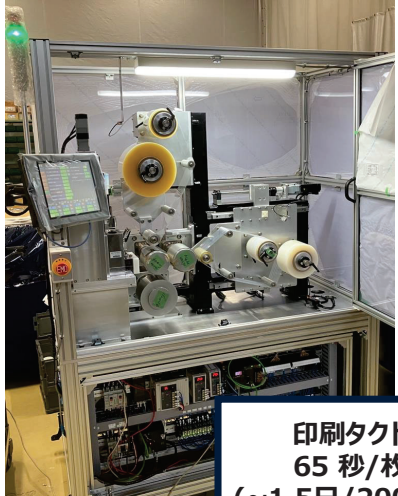


3σ=6ppm以下の絶対座標精度、p-p=0.12μm以下の繰り返し精度を達成

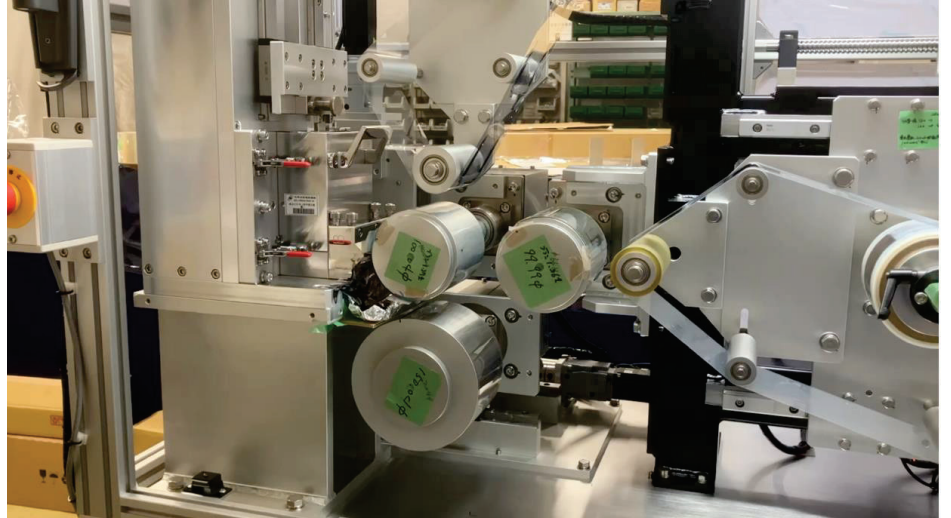
実用化に向けた信頼性検証について

無人で付着力コントラスト印刷の連続耐久性を評価可能な装置を開発
刷版・プランケット等の副資材耐久性を評価

動画

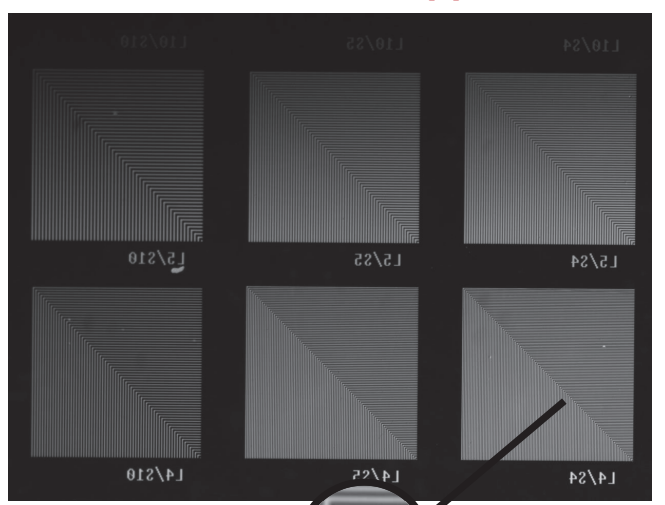


印刷タクト
65 秒/枚
(~1.5日/2000枚)



連続印刷耐久性の評価状況

連続印刷パターンの形状評価

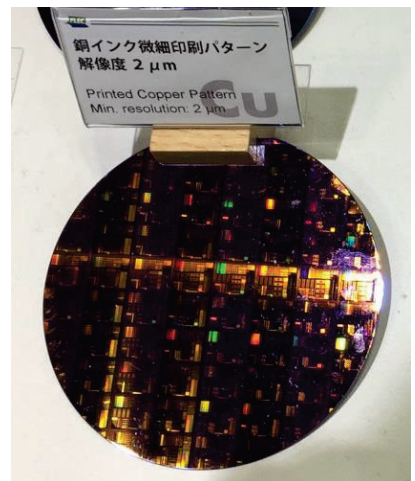


通算1000枚目

現在、2000回までの耐久性評価を実施中。印刷前後の各種表面分析等と合わせてプロセス安定化を目指す

まとめ

- ・産総研独自プロセスである、付着力コントラスト印刷で線幅2μmレベルの高精細パターニングを実現。連続耐久性を検証中。
- ・円弧揺動機構を導入した新規印刷装置により、3σ<10ppm以下の高精度パターニングを実現。
- ・独自調合技術により、めつきシード層、レジスト、遮光膜等の機能性インク材料を開発。



半導体後工程・実装応用への
展開を目指す。